

مقایسه تاثیرهای فیزیولوژیک قارچ تریکودرما (والد و جهش یافته) علیه *Fusarium oxysporum* f.sp. *dianthi* در میخک 'White Liberty'

شیمایا حیدرپور^۱، سمیرا شهبازی^{۲*}، راضیه سرآبادانی^۱، حامد عسکری^۲

۱. گروه بیوتکنولوژی، دانشکده کشاورزی، دانشگاه پیام نور، تهران

۲. پژوهشکده کشاورزی هسته ای، پژوهشگاه علوم و فنون هسته ای، سازمان انرژی اتمی، کرج

✉ samira.shahbazi.aei@gmail.com

تاریخ دریافت: ۱۴۰۰/۷/۶، تاریخ بازنگری: ۱۴۰۱/۱۰/۱۴، تاریخ پذیرش: ۱۴۰۱/۱۰/۱۷

چکیده

میخک از گیاهان زینتی مهم است و *Fusarium oxysporum* f.sp. *dianthi* عامل پژمردگی فوزاریومی، خسارت فراوانی را به پرورش دهندگان میخک وارد می‌سازد. هدف از پژوهش کنونی بررسی واکنش گیاه میخک آلوده به قارچ *Fusarium oxysporum* f.sp. *dianthi* و مایه‌زنی شده با قارچ تریکودرما (والد و جهش یافته) در برخی از شاخص‌های فیزیولوژیک و آنزیمی مرتبط با بروز مقاومت به بیمارگر بود. پس از جداسازی و خالص‌سازی عامل بیماری‌زا و تایید بیماری‌زایی آن‌ها، جدایه *F. oxysporum* N112 به عنوان سویه پرآزار بیمارگر انتخاب شد. جدایه‌های تریکودرما (والد و جهش یافته) از کلکسیون پژوهشکده کشاورزی هسته‌ای دریافت و قدرت جلوگیری از رشد *F. oxysporum* N112 در شرایط درون شیشه‌ای بررسی شد. میزان کاهش بروز بیماری در اثر تیمار با تریکودرما متخف روی گیاه میخک 'White Liberty' در گلخانه بررسی شد. میزان پروتئین، سبزینه a و b، کارتنوئید و فعالیت آنزیم‌های پراکسیداز و پلی‌فنول اکسیداز در نمونه‌های برگ در روزهای ۷، ۱۴ و ۲۱ اندازه‌گیری شد. نتایج این پژوهش نشان از کاهش تولید پروتئین، سبزینه a و b، کاروتنوئید در گیاهان آلوده و افزایش آنزیم‌های پراکسیداز و پلی‌فنول اکسیداز در اثر تجمع رادیکال‌های آزاد در بافت برگ داشت. در حالی که مایه زنی با تریکودرما منجر به افزایش محتوی پروتئین، سبزینه a و b و کاروتنوئید در برگ و جلوگیری از انباشت رادیکال‌های آزاد و در نتیجه کاهش تجمع آنزیم‌های پراکسیداز و پلی‌فنول اکسیداز در گیاه میخک آلوده به قارچ *Fusarium oxysporum* f.sp. *dianthi* شد. افزون بر این، در گیاهان تیمار شده با تریکودرما جهش یافته افزایش انباشت سبزینه و پروتئین در برگ و کاهش بروز بیماری در مقایسه با جدایه تریکودرما (والد) دیده شد. از سوی دیگر، تیمار با تریکودرما جهش یافته بیش از جدایه والد در پیشگیری از پیشرفت بیماری، ۲۱ روز پس از مایه زنی با بیمارگر تاثیر داشت که ممکن است به دلیل تاثیر تیمار با تریکودرما جهش یافته در کاهش اکسایش یاخته‌ای در گیاه بیمار باشد. در مجموع، نتایج نشان داد که، تریکودرما جهش یافته افزون بر قدرت ناهم‌افزایی (آنتاگونیستی) بالاتر از والد، از راه تاثیر بیشتر در تعادل اکسایش یاخته‌ای می‌تواند عامل کنترل زیستی موثرتری در برنامه تلفیقی مبارزه با عامل پژمردگی فوزاریومی میخک باشد.

واژه‌های کلیدی: *Fusarium oxysporum Dianthus caryophyllus*، تریکودرما، کنترل زیستی، پرتوتابی با پرتو گاما.

مقدمه

میخک از جمله مهم‌ترین گل‌های زینتی بریدنی تولید شده در ایران است و شهرستان محلات با ۳۸ هکتار سطح زیر کشت، بزرگترین مرکز پرورش این گل بریدنی در کشور است (Zaker Tavallaie et al., 2022). در سال‌های اخیر بروز همه‌گیری ناشی از آلودگی‌های فوزاریومی در این شهرستان خسارت بزرگی را به تولید کنندگان این محصول وارد کرده است. یکی از مهم‌ترین بیماری‌ها در پرورش میخک پژمردگی فوزاریومی است که عامل آن قارچ خاکزاد *Fusarium oxysporum* f.sp. *dianthi* است (Santos-Rodríguez et al., 2021). این بیماری در گلخانه‌های دو ساله و سه ساله در شهرستان محلات که با طغیان و تجمع جمعیت بیمارگر رویه‌رو هستند خسارت بیشتری را وارد می‌آورد. قارچ *Fusarium oxysporum* f.sp. *dianthi* توانایی تولید کلامیدوسپورهای به شدت مقاوم^۱، مهارکنندگان فرار و آنتی‌بیوتیک‌هایی مانند بیکاورین^۲ را دارا می‌باشد که منجر به دشوار شدن مدیریت این بیماری می‌شود (Rana et al., 2017). مبارزه مرسوم با استفاده از سم‌های شیمیایی همیشه همراه با ایجاد آلودگی زیست‌محیطی، مرگ میکروارگانیسم‌های مفید و ایجاد مقاومت در بیمارگر است (Nicolopoulou-Stamati et al., 2016). استفاده از قارچکش‌های شیمیایی افزون بر خطرهای زیستی، به دلیل کاهش کیفیت سموم موجود در بازار (ارائه سموم تاریخ مصرف گذشته و تقلبی) و افزایش قیمت ناشی از تغییرهای ارزی در کشور بر مشکلات تولید کنندگان میخک افزوده است. بنابراین استفاده از روش‌های کنترل زیستی (از جمله تریکودرما) می‌تواند جایگزین مناسبی به جای کنترل شیمیایی بیمارگرها باشد و خطر بروز مقاومت در برابر قارچ‌کش‌ها را کاهش دهد (Sundaramoorthy & Balabaskar, 2013) و در افزایش تولید میخک و کاهش هزینه کنترل بیماری و تداوم استفاده از گلخانه‌ها بسیار موثر باشد. تریکودرما قارچ خاکزاد بوده و با استفاده از مکانیسم‌های چندگانه (مایکوپارازیتسم، رقابت و آنتی‌بیوز^۳) منجر به کاهش جمعیت فعال بیمارگر در خاک و انگیزش مقاومت به گیاه هدف می‌شود (Khan et al., 2020). فعالیت ضدقارچی تریکودرما ناشی از تولید هیدرولازهای گلیکوزیل همچون کیتینازها و β -۱،۳-گلوکانازها است که به ترتیب باعث تجزیه کیتین و پلیمرهای گلوکان می‌شود (Ros & Pascual, 2011). همچنین، این قارچ به علت توانایی تولید آنتی‌بیوتیک‌ها، انگلی شدن روی دیگر قارچ‌ها و رقابت با دیگر میکروارگانیسم‌های مضر برای گیاهان به طور گسترده مورد پژوهش قرار گرفته است (Howell, 2006). فعالیت هر مکانیسم منجر به تولید ترکیب‌ها و متابولیت‌های ویژه مانند الفاکننده‌های رشد، آنزیم‌های هیدرولیتیک، سیدروفورها، آنتی‌بیوتیک‌ها، کربن و نیتروژن شده و از این رو رشد گیاهان را در خاک را افزایش می‌دهد (Ros & Pascual, 2011).

برهمکنش میزبان-بیمارگر همراه با تغییر در برخی از آنزیم‌های دفاعی همچون پراکسیدازها و پلی‌فنول اکسیدازهاست (De Gara et al., 2003). این آنزیم‌ها باعث جلوگیری از کلونیزه شدن توسط بیمارگر از راه برهمکنش با فنول‌ها و بیوستر لگنین و سوپرین می‌شوند (Santos-Rodríguez et al., 2021). در برخی از پژوهش‌ها بیان شده است که سطوح بالای این آنزیم‌ها منجر به مقاومت گیاه به بیمارگر می‌گردد (Lavania et al., 2006). تریکودرما توانایی این را دارد که بر افزایش تجمع آنزیم‌های آنتی‌اکسیدانی در میزبان و انگیزش مقاومت به بیمارگر کمک نموده و در بیمارگرهای خاکبردی مانند *Fusarium oxysporum* f.sp.



dianthi و میزبان‌های چند ساله مانند میخک این راهبرد بسیار کارایی دارد. برای افزایش کارایی کنترل زیستی این بیماری روی میخک، در پژوهش حاضر از روش انگیزش مقاومت در قارچ تریکودرمای بومی ایران با استفاده از پرتوتابی با پرتو گاما استفاده شده است. برای بررسی نحوه اثر تریکودرما، افزون بر بررسی میزان بروز بیماری و شاخص‌های رشد، واکنش گیاه میخک آلوده شده به قارچ *Fusarium oxysporum* f.sp. *dianthi* و مایه زنی شده با عامل آنتاگونیستی تریکودرمای والد و جهش یافته در سطح برخی از شاخص‌های فیزیولوژیک و آنزیمی نیز مورد بررسی قرار گرفت.

مواد و روش‌ها

جداسازی و خالص سازی عامل بیمارگر از میخک

قارچ‌های بیمارگر مورد استفاده در این پژوهش، از نمونه‌های گیاه میخک رقم 'White Liberty'، از گلخانه‌های آلوده واقع در شهرستان محلات، شهرک گل، جداسازی شدند. نمونه‌های گیاهان بیمار و نمونه‌های خاک همراه ریزوسفر آن‌ها به آزمایشگاه بیماری شناسی گیاهی - گروه گیاهپزشکی پژوهشکده کشاورزی هسته‌ای کرج - پژوهشگاه علوم و فنون هسته‌ای منتقل شدند. برای جداسازی بیمارگر از بافت گیاهی، طوقه گیاهان بیمار با آب شستشو داده شد. سپس، بخش‌هایی از حاشیه سالم و بیمار به اندازه یک تا دو میلی متر از طوقه‌های آلوده جدا شده و با محلول وایتکس (دارای یک درصد کلر فعال) ضد عفونی سطحی شدند و روی محیط کشت CLA (برگ میخک - آگار) و PDA (عصاره سیب زمینی - دکستروز - آگار) در تاریکی و در دمای 28 ± 2 درجه سلسیوس، برای چهار تا پنج روز، گرمخانه‌گذاری شدند. کشت خالص جدایه‌ها با استفاده از روش نوک‌ریسه‌کردن روی محیط کشت PDA تهیه شد. نگهداری جدایه‌ها روی قطعه‌های چوبی خلال‌دندان، انجام شد.

بررسی قدرت بیماری‌زایی عوامل بیمارگر جداسازی شده

در آغاز زادمایه از جدایه‌های قارچ بیمارگر برای اثبات بیماری‌زایی تهیه شد. سوسپانسیونی از اسپورهای جدایه‌های بیمارگر (فوزاریوم) با غلظت 10^5 اسپور در هر میلی لیتر آب مقطر استریل به وسیله لام گلبول شمار تهیه و با استفاده از آب مقطر استریل به حجم ۵۰ میلی لیتر رسانده شد. از این سوسپانسیون اسپور برای مایه زنی به طوقه گیاه میخک 'White Liberty' در مرحله ۴ تا ۵ برگی استفاده شد (Lori et al., 2004). این آزمایش در سه تکرار و هر گلدان (بوته) به عنوان یک تکرار انجام شد. خاک کشت حاوی پرلایت و کوکوپیت، شن و ماسه به نسبت ۱:۱:۱ به طور کامل مخلوط و پس از مرطوب کردن آن درون کیسه‌های پلاستیکی دو جداره قرار داده شد و داخل اتوکلاو در حرارت ۱۲۱ درجه سلسیوس و فشار یک اتمسفر در دو نوبت هر بار برای ۲ ساعت به طور کامل استریل گردید و گلدان‌ها در اتاق کشت در دمای ۲۵ درجه سلسیوس برای سه هفته قرار داده شده و آبیاری سه بار در هفته از راه آب پاشی دستی انجام شد. قارچ عامل بیماری از گیاهانی که علائم آلودگی را نشان داده بودند، جداسازی شد و مشخصات این نمونه با نمونه‌های جدا شده قبلی مقایسه و همانندی تبارشناسی آن‌ها با استفاده از کلید شناسایی لزل و سامرل (Leslie & Summerell, 2008)، مورد بررسی قرار گرفت (Shahbazi et al., 2021).

شناسایی مولکولی کلیه جدایه‌های فوزاریوم شناسایی شده با استفاده از تکثیر ناحیه ژن *TEF-1a* با استفاده از پرایمرهای *ef1* و *ef2* انجام شد. قطعه‌های تکثیر شده خالص سازی و توالی یابی شدند و توالی‌های نوکلئوتیدی در پایگاه داده *Fusarium ID* برای شناسایی مولکولی جدایه‌ها بر اساس ژن *TEF-1a* معرفی و درخت فیلوژنتیک نیز ترسیم شد. بر این اساس شناسایی N112 به عنوان جدایه متعلق به گونه *F. oxysporum* تایید گردید (Shahbazi et al., 2021).



پس از انجام آزمون بیماریزائی، *F. oxysporum* N112 بالاترین شدت نشانه‌های بیماری را روی قلمه‌های میخک داشت و به عنوان جدایه پرآزار بیمارگر برای ارزیابی‌های گلخانه‌ای و بررسی واکنش میخک به تریکودرما و بیمارگر انتخاب شد. برای شناسایی فرم ویژه *f. sp. dianthi* با استفاده از روش لوری و همکاران، مایه زنی بر روی سه گیاه (گوجه فرنگی رقم Falat، خیاربدر دورگه F1^۱ و گلابول رقم Oscar)، در مرحله گیاهچه‌های شش برگی، با استفاده از سوسپانسیون اسپورهای جدایه N112 فوزرایوم با غلظت ۱۰^۵ اسپور در میلی‌لیتر آب انجام شد (Lori et al., 2004).

غربالگری کلکسیون تریکودرما برای انتخاب جدایه‌های والد و جهش‌یافته تریکودرما

برای غربالگری گونه‌های تریکودرمای والد از کلکسیون عوامل کنترل زیستی موجود در آزمایشگاه بیماری‌شناسی - گروه گیاهپزشکی - پژوهشکده کشاورزی هسته‌ای، آزمون ارزیابی میزان قدرت آنتاگونیستی گونه‌های تریکودرما با استفاده از روش کشت متقابل آن‌ها با عوامل بیمارگر انجام شد تا بهترین جدایه از نظر جلوگیری از رشد شعاعی میسلیمی ۱۴ جدایه بیمارگر خالص سازی شده انتخاب شود. از بین ۷۹ گونه والد تریکودرما، گونه‌های تریکودرمای منتخب شامل جدایه‌های والد (*T. harzianum* NAS110, *T. viride* NAS106, *T. atroviride* NAS112, *T. koningii* NAS107 and *T. virens* NAS114) بودند که بالاترین قدرت آنتاگونیستی را نشان دادند.

انگیزش جهش با استفاده از پرتوتابی بر روی سوسپانسیون اسپور هر گونه تریکودرما به طور جداگانه در دامنه دز بهینه انگیزش جهش (۲۵۰ گری) با استفاده از دستگاه گاماسل^۲ با چشمه کبالت ۶۰- اکتیویته ۲۵۰۰ کوری و نرخ دز ۰/۱۸ گری در ثانیه انجام شد. پس از هفت بار واکنش هر یک از جهش‌یافته‌ها و اطمینان از پایداری تغییرات ریخت‌شناسی و ثبت شده برای هر جدایه جهش‌یافته، اثبات جهش‌یافته بودن آن‌ها با استفاده از نشانگرهای مولکولی و پژوهش‌های آنتاگونیستی و پروفایل پروتئینی آنزیم‌های دخیل در مایکوپارازیتسم بین تریکودرما و عوامل بیمارگر گیاهی (Abbasi et al., 2016; Soufi et al., 2021) انجام شد و در کلکسیون ۷۰۰۰ جدایه جهش‌یافته تریکودرما در آزمایشگاه بیماری‌شناسی گیاهی - گروه گیاهپزشکی نگهداری شدند. برای انتخاب جهش‌یافته‌های برتر از این کلکسیون، ۲۰ جدایه جهش‌یافته با سرعت رشد بالاتر از جدایه والدشان انتخاب شدند. سپس از هر گونه منتخب، یک جدایه جهش‌یافته که دارای بالاترین قدرت جلوگیری از رشد میسلیمی جدایه پرآزار N112 در کشت متقابل در محیط کشت PDA بود، انتخاب گردید. جدایه‌های جهش‌یافته برتر شامل جدایه‌های -NAS110-M8, NAS106- M21, NAS112-M25, NAS107-M1 و NAS114-M12 بودند که قدرت جلوگیری از رشد بیمارگر بالاتر از والد خود داشتند.

ارزیابی قدرت جلوگیری از رشد بیمارگر در آزمایشگاه

برای غربالگری در این روش در آغاز دیسکی به قطر ۵ میلیمتر از کشت سه روزه جدایه‌های تریکودرما برداشته و در یک تشتک پتری حاوی محیط کشت PDA با فاصله یک سانتیمتر از لبه تشتک قرار داده شد (هر جدایه در یک تشتک پتری جداگانه و در سه تکرار). همزمان با این کار، به همان اندازه از کشت سه روزه جدایه برتر قارچ فوزاریوم روی محیط کشت PDA برداشته و در طرف مقابل قارچ تریکودرما در همان تشتک گذاشته شد. در تیمارهای شاهد تنها کشت سه روزه فوزاریوم و در مقابل آن دیسکی به قطر ۵ میلیمتر از محیط کشت PDA گذاشته شد. تشتک‌های پتری در دمای ۲۵ درجه سلسیوس نگهداری شدند و



رشد و جدایه‌های تریکودرما در کشت‌های ۷۲ و ۹۶ ساعت اندازه‌گیری شد و درصد بازدارندگی فاصله زمانی ۹۶ ساعته مورد محاسبه قرار گرفت.

درصد بازدارندگی = (قطر رشد فوزاریوم در شاهد - قطر رشد فوزاریوم در کشت متقابل با تریکودرما) / قطر رشد فوزاریوم در شاهد $\times 100$

ارزیابی واکنش‌های زیست‌شیمیایی میخک به عوامل آنتاگونیست و بیمارگر

بر اساس داده‌های بیمارگر، جدایه پرآزار *F. oxysporum* N112 که بالاترین شدت نشانه‌ها را روی قلمه‌های میخک در گلخانه نشان داده بود و جدایه‌های والد NAS106 و NAS114 که بالاترین توانایی جلوگیری از رشد ریشه را در برابر همه جدایه‌های فوزاریومی بیماری‌زا نشان دادند، انتخاب شدند.

برای بررسی واکنش گیاه میخک به بیمارگر و آنتاگونیست و تعامل این دو، ابتدا گیاهان توسط زادمایه فعال عامل بیمارگر منتخب آلوده‌سازی شدند و پس از آغاز بروز نشانه‌ها در گیاهان کنترل منفی، ۷ روز بعد از مایه‌زنی، تیمار با تریکودرما اعمال گردید. در تیمار با تریکودرما، دو تیمار اصلی شامل تیمار والد (مخلوط مساوی از سوسپانسیون اسپور جدایه‌های والد NAS106 و NAS114 به عنوان تیمار تریکودرما والد) و تیمار جهش‌یافته (مخلوطی از دو جدایه موتانت منتخب NAS106-M21 و NAS114-M12 مربوط به عنوان تیمار تریکودرما موتانت) به خاک گیاهان تحت تیمار با بیمارگر اضافه شدند. گیاهان کنترل مثبت و منفی (گیاهان شاهدی که بیمارگر به آنها مایه‌زنی نشده بود و کنترل منفی که گیاهان میخک آلوده به بیمارگر بودند) و گیاهان تیمار شده با قارچکش شیمیایی کاربردزیم (شرکت سمیران- ایران)، طبق غلظت توصیه شده شرکت سازنده با غلظت ۲ در هزار برای مقایسه کارایی تیمارهای تریکودرما والد و موتانت با روش شیمیایی نیز در بازه زمانی و شرایط مشابه نگهداری شدند. این آزمایش‌ها در گلخانه تحقیقاتی گروه گیاهپزشکی- پژوهشکده کشاورزی هسته‌ای با دمای ۲۵ درجه سلسیوس و روشنایی روز و شب و رطوبت نسبی ۸۰-۸۵٪ انجام شد. همه تیمارها و شاهد با چهار تکرار و در قالب طرح بلوک کامل تصادفی انجام شد. برای هر تیمار چهار تکرار و در هر تکرار ۵ گلدان (حداقل ۱۵ گلدان برای هر تیمار) کشت و تیمار و نگهداری شد. برای بررسی تعاملات پاتوسیستم فوزاریوم و میخک در حضور و نبود حضور عامل آنتاگونیست (والد و جهش یافته) در سه دوره زمانی ۷ و ۱۴ و ۲۱ روز پس از مایه‌زنی با تریکودرما، شاخص‌های زیست‌شیمیایی شامل پروتئین کل محلول، آنزیم‌های آنتی اکسیدانی پلی فنول اکسیداز و پراکسیداز و رنگدانه‌ها (سبزینه a, b و کارتنوئید) از نمونه‌های برگ‌های تازه استخراج و مورد ارزیابی قرار گرفتند.

مایه‌زنی عوامل زیستی منتخب و بیمارگر به قلمه‌های میخک در گلخانه

برای انجام مایه‌زنی با بیمارگر و آنتاگونیست در گلخانه، در آغاز زادمایه بیمارگر و تریکودرما تهیه و به گیاهان مایه‌زنی گردید. همه گیاهان، نشاهای سالم و هم اندازه میخک 'White Liberty' با عمر چهار هفته بودند. برای این آزمایش گلدان‌هایی به قطر ۱۷ و ارتفاع ۲۳ سانتیمتر در نظر گرفته شد و در هر گلدان یک نشا سالم کاشته شد. در پایان میزان کاهش بروز بیماری در همه تیمارها محاسبه گردید.

تهیه زادمایه قارچ عامل بیماری برای انجام آزمایش‌های گلخانه‌ای

زادمایه فعال بیمارگر از سبوس گندم تهیه شد. در آغاز سبوس در دمای ۱۲۰ درجه سلسیوس برای ۳۰ دقیقه دوبار اتوکلاو شد و با سوسپانسیون از اسپوره‌های *F. oxysporum* N112 با غلظت 10^5 اسپور در هر میلی لیتر آب مقطر گندزدایی شده مایه‌زنی گردید و در دمای ۲۵ درجه سلسیوس در انکوباتور تاریک برای ۷ روز نگهداری شد و برای جلوگیری از چسبیدن اینوکولوم هر روز دوبار، بسترهای مایه‌زنی شده با بیمارگر به شدت تکان داده شدند.

تکثیر جدایه‌های آنتاگونیست برای ارزیابی‌های گلخانه‌ای

برای تهیه زادمایه قارچ‌های آنتاگونیست، از کلونی‌های هفت روزه جدایه‌های والد و موتانت‌های منتخب از مرحله قبل روی محیط PDA پلاک‌هایی به ابعاد ۵ میلی متر مربع درون ارلن‌های حاوی ۱۵۰ گرم سبوس گندم دوبار گندزدایی شده افزوده شده و برای ۲۵ روز در انکوباتور با دمای ۲۷ درجه سلسیوس و در رطوبت ۷۰٪ نگهداری شدند. در این مدت قارچ تریکودرما در همه قسمت‌های سبوس اسپورزایی کرده و ۵ گرم از این اینوکولوم برای هر گلدان استفاده شد.

ارزیابی میزان کنترل بیماری توسط تریکودرما در گلخانه

برای آماده سازی تیمارهای بررسی تاثیر جدایه‌های قارچ تریکودرما بر بروز بیماری و درصد کاهش بوته‌های آلوده به بیماری پژمردگی فوزاریومی، ابتدا دو سوم حجم پایینی گلدان‌ها با خاک پاستوریزه شده پر شد و پس از آن زادمایه جدایه قارچ عامل بیماری به نسبت وزنی ۱۰٪ با خاک پاستوریزه گلدانی مخلوط (۱۰۰ گرم زادمایه + ۹۰۰ گرم خاک) شد و به ۱/۳ حجم بالایی گلدان‌ها افزوده شد و برای ۲۵ روز در گلخانه نگهداری و هر سه روز یک بار آبیاری صورت گرفت تا قارچ فوزاریوم به خوبی در خاک مستقر شود. در ادامه ۱۰ گرم سبوس از زادمایه آنتاگونیست‌ها به ازای هر قلمه با خاک قسمت بالای گلدان‌ها که آلوده به قارچ بیماری‌زا بود، آمیخته گردید. برای آماده‌سازی تیمارهای بررسی احتمال بیماری‌زا بودن جدایه‌های تریکودرما روی میخک و همچنین بررسی تاثیر این جدایه‌ها بر رشد بوته‌های میخک بدون حضور قارچ عامل بیماری، ابتدا در گلدان‌ها خاک پاستوریزه ریخته شد و سپس ۲۰۰ گرم از سبوسی که جدایه‌های آنتاگونیست به تنهایی روی آن تکثیر شده بود اضافه شد. در تیمار شاهد آلوده که برای تعیین مناسب بودن شرایط آزمایش و گلخانه برای بروز بیماری پژمردگی فوزاریومی در نظر گرفته شده بود، به خاک پاستوریزه داخل گلدان‌ها مقدار ۳۰ گرم زادمایه جدایه قارچ فوزاریوم افزوده شد. در تیمار شاهد سالم که برای اطمینان از نبود آلودگی خاک پاستوریزه مورد استفاده و همچنین تعیین درصد بوته‌های آلوده به بیماری در تیمارهای ۱ تا ۱۰ در نظر گرفته شده بود فقط خاک پاستوریزه در گلدان‌ها ریخته شد. گلدان‌ها در گلخانه با دمای ۲۵ تا ۲۸ درجه سانتی گراد برای شش هفته نگهداری شدند و هر روز یک بار آبیاری شدند. برای بررسی تاثیر جدایه‌های قارچ تریکودرما بر کنترل بیماری از شاخص ۵ درجه‌ای (Younesi *et al.*, 2013) استفاده شد که در آن عدد یک به معنای نبود بروز بیماری و حداکثر شدت بیماری عدد ۵ می باشد. برای محاسبه این شاخص از رابطه زیر استفاده شد:

درصد شدت بیماری = (تعداد قلمه شاهد آلوده به فوزاریوم - تعداد قلمه آلوده در هر تیمار) / تعداد قلمه شاهد الوده به

$$\text{فوزاریوم} * 100$$



بررسی واکنش فیزیولوژیک قلمه‌های میخک به عوامل زیستی

نمونه‌برداری از برگ‌های چهارم تا ششم قلمه‌های گیاهان میخک، ۴۸ ساعت پس از کاربرد تیمار با عوامل کنترل زیستی انجام شد. برای استخراج و اندازه‌گیری آنزیم‌ها، برگ‌ها در حضور نیتروژن مایع در هاون چینی آسیاب شدند. یک میلی‌متر از بافر فسفات ۵۰ میلی مولار (pH=7) به ۰/۵ گرم از برگ آسیاب شده اضافه شد و سپس برای ۱۵ دقیقه با ۱۴ هزار دور در دقیقه در دمای ۴ درجه سلسیوس، سانتریفیوژ شدند. پس از پایان سانتریفیوژ عصاره رویی برداشته شد. از این عصاره برای سنجش آنزیم‌های پراکسیداز و پلی فنول اکسیداز استفاده شد.

سنجش پروتئین کل

برای سنجش مقدار پروتئین کل از روش برادفورد استفاده شد (Bradford, 1976). به ۰/۱ میلی‌لیتر عصاره پروتئینی، ۵ میلی‌لیتر معرف اضافه و ورتکس شد و جذب نمونه‌ها پس از ۱۰-۵ دقیقه با دستگاه اسپکتروفتومتر در طول موج ۵۹۵ نانومتر خوانده شد. سپس غلظت پروتئین با استفاده از منحنی استاندارد آلبومین گاوی محاسبه و بر حسب میلی‌گرم بر گرم وزن تر محاسبه شد. همه اندازه‌گیری‌ها ۲۰ روز پس از تلقیح، در سه هفته متوالی با فاصله هفت روز با نمونه‌گیری از برگ انجام شد تا سیر تغییرات آنزیم‌های آنتی اکسیدانی و تغییرات پروفایل پروتئینی گیاه (به عنوان تغییرات پروفایل پروتئین در طول دوره زمانی) مشخص شود.

اندازه‌گیری سبزینه و کاروتنوئید

برای اندازه‌گیری میزان سبزینه و کاروتنوئید ۱ گرم برگ در هاون با ۲۰ میلی‌لیتر استون ۸۰٪ عصاره‌گیری و سپس برای ۲۴ ساعت در یخچال نگهداری شد. از بخش رویین (قسمت شناور) عصاره به دست آمده نمونه‌برداری شد و میزان جذب با دستگاه اسپکتروفتومتر در طول موج‌های ۶۴۵ آنگستروم و ۶۶۳ آنگستروم برای سبزینه و طول موج ۴۷۰ آنگستروم برای کاروتنوئید خوانده شد و میزان سبزینه بر اساس فرمول‌های زیر محاسبه شد (Lu et al., 2009).

$$\text{سبزینه a گرم وزن تازه / میلی گرم} = (0/0127 \times A_{663}) - (0/00269 \times A_{645})$$

$$\text{سبزینه b گرم وزن تازه / میلی گرم} = (0/0229 \times A_{645}) - (0/00468 \times A_{663})$$

$$\text{سبزینه a+b گرم وزن تازه / میلی گرم} = (0/0202 \times A_{645}) - (0/00802 \times A_{663})$$

فعالیت پراکسیداز

سنجش فعالیت آنزیم پراکسیداز با استفاده از گایاکول و اندازه‌گیری میزان جذب تتراگایاکول تشکیل شده در نتیجه فعالیت پراکسیداز، در ۴۷۰ نانومتر انجام گرفت (Mika & Luthje, 2003). مخلوط واکنش شامل بافر فسفات ۵۰ میلی مولار pH=7، پراکسید هیدروژن (۰/۳ درصد) و گایاکول (۱ درصد) و ۲۰ میکرولیتر عصاره آنزیمی بود. میزان جذب تتراگایاکول (حاصل از اکسید شدن گایاکول) در ۴۷۰ نانومتر در لحظه شروع واکنش پس از اضافه نمودن عصاره آنزیمی و پس از یک دقیقه خوانده شد. با استفاده از تغییرات جذب در ۴۷۰ نانومتر برای یک دقیقه، ضریب خاموشی تتراگایاکول^۱ (۵/۲۵ میلی مولار بر سانتی‌متر)، مقدار تتراگایاکول تشکیل شده محاسبه شد. این مقدار از تتراگایاکول معادل فعالیت یک واحد



آنزیم پراکسیداز می باشد. فعالیت آنزیم بر حسب واحد آنزیم در مقدار پروتئین کل (میلی گرم) موجود در ۲۰ میکرولیتر عصاره گزارش شد.

فعالیت پلی فنول اکسیداز

مخلوط واکنش شامل بافر ۲۰/ مولار ۰ پیروگالول و pH=7.6 با ۰/۲ مولار تریس بود. واکنش با افزودن ۱۰۰ میکرولیتر عصاره آنزیمی شروع شد. در حضور آنزیم پلی فنول اکسیداز، پیروگالول موجود در مخلوط واکنش، به پورپوروگالین تبدیل می شود. کاهش در جذب پیروگالول در ۴۲۰ نانومتر، پس از ۵ دقیقه در دمای ۲۵ درجه سلسیوس نسبت به زمان شروع واکنش، محاسبه شد. تغییرات جذب برای ۱ دقیقه محاسبه شد. با استفاده از ضریب خاموشی پیروگالول (۲/۶ میلی مولار بر سانتی متر) مقدار برجای مانده پیروگالول در مخلوط واکنش به دست می آید. یک واحد آنزیمی پلی فنول اکسیداز شامل مقدار پیروگالولی است که برای ۱ دقیقه به پورپوروگالین تبدیل می شود. فعالیت آنزیمی بر حسب واحد آنزیم در مقدار پروتئین کل (میلی گرم) موجود در ۱۰۰ میکرولیتر عصاره محاسبه گردید (Dogan & Dogan, 2004).

واکاوی آماری

برای واکاوی داده‌ها از آنالیز واریانس دوطرفه (Two Way ANOVA) با استفاده از نرم افزار GraphPad Prism V.8 استفاده شد. سطح معنی داری ۰.۰۵٪ در نظر گرفته شد. داده‌ها به صورت میانگین \pm انحراف معیار بیان شد و همه داده‌ها میانگینی از سه تکرار است. مقایسه میانگین‌ها با آزمون LSD در سطح احتمال ۰.۰۵٪ صورت گرفت.

نتایج

جداسازی عامل بیمارگر از میخک

جدایه‌های قارچی جداسازی شده از گیاهان بیمار، پس از خالص سازی، شناسایی شدند. از ۲۷ جدایه خالص سازی شده، ۱۴ جدایه به جنس فوزاریوم تعلق داشتند و ۴ جدایه به گونه *Fusarium oxysporum* تعلق داشتند که با کلید شناسایی لرلی و سامرل (Leslie & Summerell, 2008) شناسایی شدند. ویژگی‌های پرگنه ۴ جدایه متعلق به گونه *Fusarium oxysporum* روی محیط PDA به این ترتیب بود. پس از تولید میسیلیوم هوایی به رنگ سفید به تدریج رنگدانه‌های کم رنگ و یا صورتی متمایل به قرمز در آگار ایجاد شد و سطح زیرین کلونی به رنگ صورتی قرمز در آمد. میکروکنیدی‌ها به صورت سرهای کاذب و روی مونوفیالیدهای کوتاه، ساده و گاهی منشعب تشکیل می شدند، ماکروکنیدی‌ها روی محیط CLA به فراوانی تشکیل شده که اندکی خمیده، داسی شکل و اغلب دارای ۲ تا ۳ دیواره عرضی، عمدتاً کوتاه و دارای دیواره نازک بودند. یاخته انتهایی ماکروکنیدی‌ها باریک و یاخته پایه به شکل پا است. کلامیدوسپورها پس از ۱۴ تا ۲۰ روز به فراوانی تشکیل و اغلب کروی بودند. با انجام آزمایش‌های شناسایی دامنه میزبانی (گوجه فرنگی، خیار و گلایول) همگی به *Fusarium oxysporum* f.sp. *dianthi* تعلق گرفتند (شکل ۱).



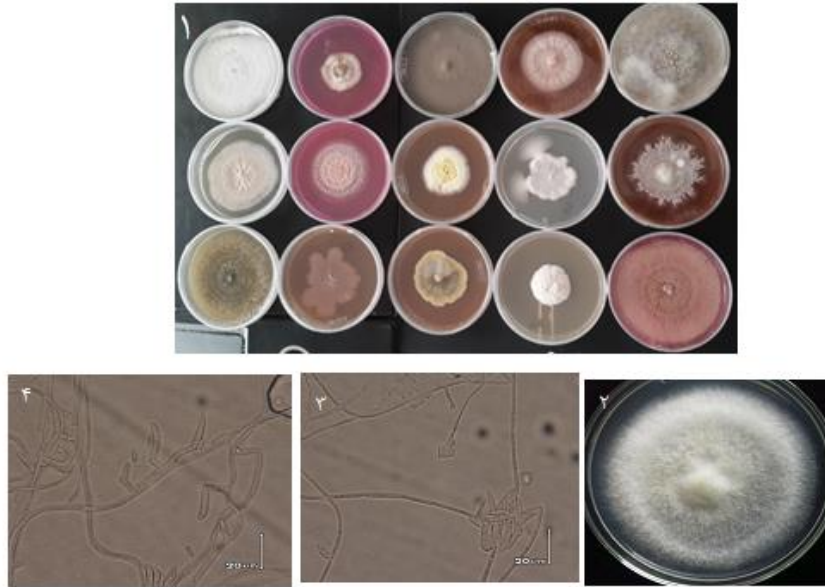


Figure 1. Morphological differences of purified colonies from infected carnation plants (1), images related to morphological identification of *F. oxysporum* species: (2) morphology of the *F. oxysporum* colony on PDA medium, (3) sickle-shaped macroconidia, (4) false head macroconidia and microconidia and monophialides.

شکل ۱- تفاوت‌های مورفولوژیک کلنی‌های خالص سازی شده از گیاهان میخک آلوده (۱)، تصاویر مربوط به شناسایی مورفولوژیک گونه *F. oxysporum*: (۲) مورفولوژی پرگنه *F. oxysporum* روی محیط کشت PDA، (۳) ماکروکنیدی داسی شکل، (۴) ماکروکنیدی و میکروکنیدی‌های سر کاذب و مونوفیالید.

بررسی قدرت بیماری زایی عوامل بیمارگر جداسازی شده

از بین ۱۴ جدایه فوزاریوم مختلف شناسایی و خالص سازی شده، در ارزیابی‌های قدرت بیماری زایی، جدایه *F. oxysporum* N112 بالاترین شدت نشانه‌ها را روی قلمه‌های میخک داشت و به عنوان جدایه پرآزار بیمارگر برای ارزیابی‌های گلخانه‌ای و بررسی واکنش میخک به تریکودرما و بیمارگر انتخاب شد.

غربالگری کلکسیون تریکودرما برای انتخاب جدایه‌های موتانت

برای انتخاب جدایه‌های تریکودرمای والد و جهش‌یافته موجود در کلکسیون، ابتدا ارزیابی درون شیشه‌ای جدایه‌های والد و جهش‌یافته تریکودرما بر جلوگیری از رشد بیمارگر هر یک از ۱۴ جدایه فوزاریوم شناسایی شده انجام شد. نتایج نشان داد که گونه‌های تریکودرما توانایی جلوگیری از رشد شعاعی میسلوم جدایه‌های فوزاریوم را دارا می‌باشند اما این میزان در گونه‌ها و موتانت‌ها متفاوت بود و در سطح ۵٪ دارای تفاوت معنی داری بود (شکل ۲). نتایج حاکی از این بود که جدایه‌های *T. viride* NAS106 و NAS114 و *T. virens* NAS106-M21 و NAS114-M12 بالاترین توانایی جلوگیری از رشد شعاعی ریشه در برابر همه جدایه‌های فوزاریومی بیماریزا را داشتند. بنابراین، برای مرحله مایه‌زنی با قلمه‌های میخک در ارزیابی‌های گلخانه‌ای انتخاب شدند.

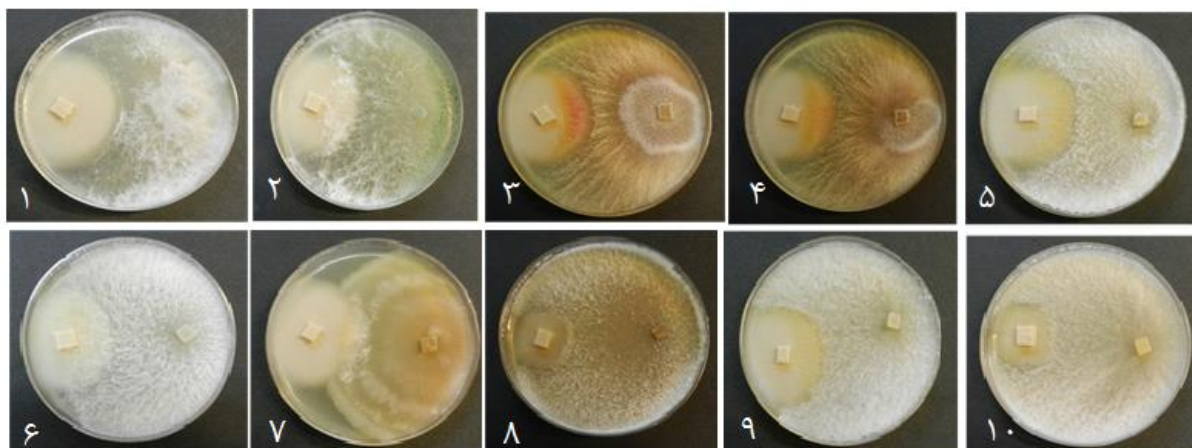


Figure 2. Differences between the radial growth inhibition of mycelium of *F. oxysporum* N112 and the *Trichoderma* isolates of the parent and mutant: (1) *T. koningii* NAS107 wild type isolate, (2) mutant isolate of NAS107-M1, (3) *T. atroviride* NAS112 wild type isolate, (4) mutant isolate NAS112-M25, (5) *T.harzianum* NAS106 wild type isolate, (6) mutant NAS110-M8, (7) *T. virens* NAS114 wild type isolate, (8) mutant isolate NAS114-M12, (9) *T. viride* NAS106 wild type isolate and (10) mutant isolate NAS106-M21.

شکل ۲- تفاوت موجود بین توانایی جلوگیری از رشد شعاعی میسلیم جدایه پرازار *F. oxysporum* N112 و جدایه‌های تریکودرما والد و موتانت: (۱) جدایه والد *T. koningii* NAS107 و (۲) جدایه جهش یافته NAS107-M1، (۳) جدایه والد *T. atroviride* NAS112 و (۴) جدایه جهش یافته NAS112-M25، (۵) جدایه والد *T.harzianum* NAS106 و (۶) جدایه جهش یافته NAS110-M8، (۷) جدایه والد *T. virens* (NAS114) و (۸) جدایه جهش یافته NAS114-M12، (۹) جدایه والد *T. viride* NAS106 و (۱۰) جدایه جهش یافته NAS106-M21

کنترل بیماری توسط تریکودرما در گلخانه

بررسی میزان کارایی جدایه‌های والد و جهش یافته تریکودرما منتخب در گلخانه نشان داد که بین گیاهان شاهد (بدون تیمار با فوزاریوم) و تیمارهای انجام شده با تریکودرما در سطح ۵٪ تفاوت معنی داری وجود دارد. همچنین عامل قارچ فوزاریومی *F. oxysporum* N112 پس از هفت روز نشانه‌های کامل بیماری را روی میزبان نشان داد که از فعال بودن و پرازار بودن فوزاریوم مورد استفاده در این پژوهش روی میزبان حکایت دارد (شکل ۳). همانطور که نتایج نشان داد، کارایی استفاده از قارچکش شیمیایی (کاربندازیم ۲ در هزار- شرکت سمیران- ایران) در کنترل بیمارگر در گلخانه به طور معنی داری کمتر از عامل کنترل زیستی غربالگری شده در این پژوهش بود. کارایی عامل کنترل زیستی انتخاب شده در این پژوهش *T. virens* NAS114 و *T. viride* NAS106 شیمیایی بر کاهش بیماری کاسته شد. در عوامل کنترل زیستی جهش یافته، میزان کنترل بیماری با گذر زمان کاهش نیافت و هرچند تفاوت معنی داری با والد خود در هفته اول نداشتند (شکل ۳)، اما در هفته دوم از پیشرفت بیماری به طور معنی داری جلوگیری نمودند که نشان می‌دهد انگیزش جهش در بهبود کارایی عامل کنترل زیستی موثر بوده است.

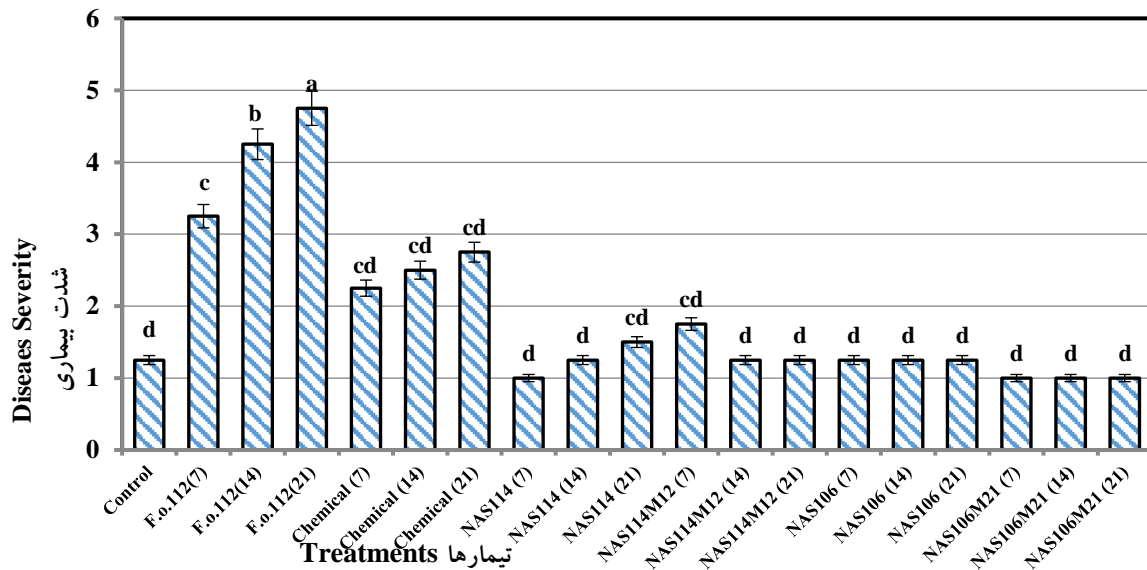


Figure 3. Comparison of *Fusarium* disease severity on Liberty White carnation in greenhouse conditions in different treatments: Control: control (without pathogen), F.o. 112 (7): disease severity on 7th day, F.o. 112 (14): disease severity on 14th day, F.o. 112 (21): disease severity on 21st day, Chemical (7): disease severity with chemical treatment on 7th day, Chemical (14) : disease severity with chemical treatment on 14th day, Chemical (21) : disease severity with chemical treatment on 21st day, NAS114 (7): disease severity with wild type NAS114 treatment on 7th day, NAS114 (14) : disease severity with wild type NAS114 treatment on 14th day, NAS114 (21): disease severity with wild type NAS114 treatment on 21st day, NAS114-M12 (7): disease severity with mutant isolate NAS114-M12 treatment on 7th day, NAS114-M12 (14): disease severity with mutant isolate NAS114-M12 treatment on 14th day, NAS114-M12 (21): disease severity with mutant isolate NAS114-M12 treatment on 21st day, NAS106 (7): disease severity with wild type NAS106 treatment on 7th day, NAS106 (14): disease severity with wild type NAS106 treatment on 14th day, NAS106 (21): disease severity with wild type NAS106 treatment on 21st day, NAS106-M21 (7): disease severity with mutant isolate NAS106-M21 treatment on 7th day, NAS106-M21 (14): disease severity with mutant isolate NAS106-M21 treatment on 14th day, NAS106-M21 (21): disease severity with mutant isolate NAS106-M21 treatment on 21st day.

شکل ۳- مقایسه شدت بیماری ناشی از فعالیت فوزاریوم روی میخک 'White Liberty' در شرایط گلخانه ای در تیمارهای مختلف: Control: شاهد (بدون بیمارگر)، F.o. 112 (7): شدت بیماری در روز هفتم، F.o. 112 (14): شدت بیماری در روز چهاردهم، F.o. 112 (21): شدت بیماری در روز بیست و یکم، Chemical (7): شدت بیماری با کنترل شیمیایی در روز هفتم، Chemical (14): شدت بیماری با کنترل شیمیایی در روز چهاردهم، Chemical (21): شدت بیماری با کنترل شیمیایی در روز بیست و یکم، NAS114 (7): شدت بیماری با تریکودرمای والد NAS114 در روز هفتم، NAS114 (14): شدت بیماری با تریکودرمای والد NAS114 در روز چهاردهم، NAS114 (21): شدت بیماری با تریکودرمای والد NAS114 در روز بیست و یکم، NAS114-M12 (7): شدت بیماری با تریکودرمای جهش یافته NAS114-M12 در روز هفتم، NAS114-M12 (14): شدت بیماری با تریکودرمای جهش یافته NAS114-M12 در روز چهاردهم، NAS114-M12 (21): شدت بیماری با تریکودرمای جهش یافته NAS114-M12 در روز بیست و یکم، NAS106 (7): شدت بیماری با تریکودرمای والد NAS106 در روز هفتم، NAS106 (14): شدت بیماری با تریکودرمای والد NAS106 در روز چهاردهم، NAS106 (21): شدت بیماری با تریکودرمای والد NAS106 در روز بیست و یکم، NAS106-M21 (7): شدت بیماری با تریکودرمای جهش یافته NAS106-M21 در روز هفتم، NAS106-M21 (14): شدت بیماری با تریکودرمای جهش یافته NAS106-M21 در روز چهاردهم، NAS106-M21 (21): شدت بیماری با تریکودرمای جهش یافته NAS106-M21 در روز بیست و یکم.

بررسی واکنش فیزیولوژیک قلمه‌های میخک به عوامل زیستی

نتایج پژوهش کنونی حاکی از تغییر معنی‌دار در محتوی پروتئین کل برگ‌های گل میخک آلوده شده به عامل قارچ فوزاریومی *F. oxysporum* N112 و مایه‌زنی شده با جدایه‌های *T. viride* NAS106 و *T. virens* NAS114 والد و جهش‌یافته NAS106-*T. virens* M21 و NAS114-M12 بود. تغییر محتوی پروتئین کل برگ‌ها وابسته به زمان بود و با گذشت زمان در برگ‌های آلوده شده با عامل قارچ و مایه‌زنی شده با جدایه‌های *T. viride* NAS106 و *T. virens* NAS114 والد و جهش‌یافته NAS106-M21 و NAS114-M12 افزایش در محتوی پروتئین کل مشاهده شد (شکل ۴). بالاترین محتوی پروتئین کل در برگ‌های میخک آلوده شده و مایه‌زنی شده با ترکیبی از جدایه‌های *T. viride* NAS106 و *T. virens* NAS114 والد در روز ۲۱ مشاهده شد. پایین‌ترین میزان پروتئین کل در گیاهان آلوده شده با عامل قارچ فوزاریومی *F. oxysporum* N112 و مایه‌زنی نشده با سویه‌های تریکودرما مشاهده شد. از این رو، به نظر می‌رسد که ترکیبی از جدایه‌های *T. virens* NAS114 و *T. viride* NAS106 والد و جهش‌یافته *F. oxysporum* N112 و NAS106-M21 در افزایش محتوی پروتئین کل برگ‌ها در میخک آلوده شده به عامل قارچ فوزاریومی مؤثر است.

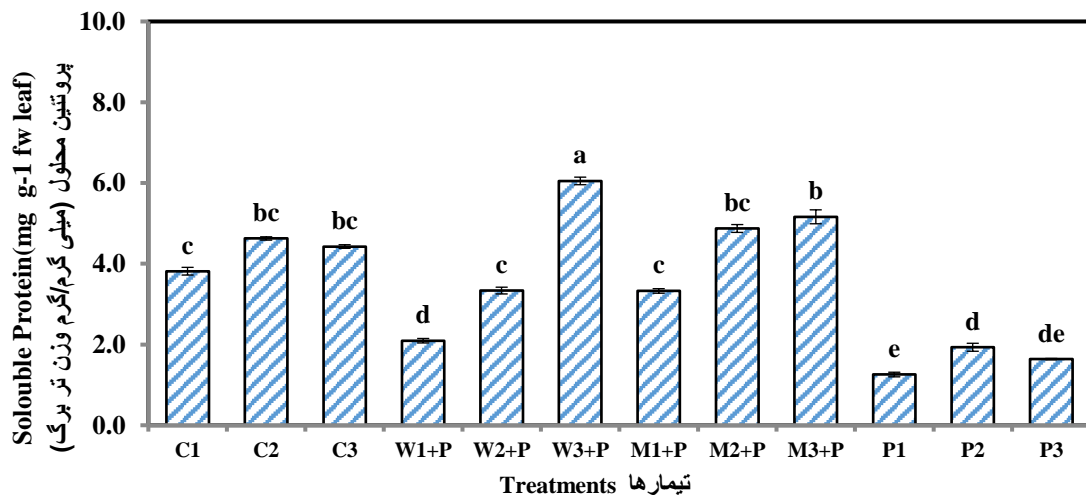


Figure 4. The soluble protein content (mg of protein per gram of plant fresh weight) in carnation leaves treated with various bio-control agents: C1,2,3 control plants on days 7, 14 and 21 respectively; W1, 2, 3 + P: carnation plants infected with *F. oxysporum* N112 and inoculated with a combination of NAS106 and NAS114 wild type on days 7, 14 and 21 respectively; M1,2,3 + P: carnation plants infected with *F. oxysporum* N112 and inoculated with a combination of NAS106-M21 and NAS114-M12 mutant isolates on days 7, 14 and 21 respectively; P1,2,3: plants infected with *F. oxysporum* N112 on days 7, 14 and 21 respectively.

شکل ۴. مقادیر پروتئین محلول (میلی گرم پروتئین به ازای هر گرم وزن تر گیاه) در برگ میخک تیمارشده با عوامل مختلف کنترل زیستی C1,2,3 به ترتیب گیاهان کنترل در روزهای ۷، ۱۴ و ۲۱؛ W1, 2, 3+P به ترتیب گیاهان میخک آلوده شده با عامل قارچ فوزاریومی *F. oxysporum* N112 و مایه‌زنی شده با ترکیبی از جدایه‌های *NAS106* و *NAS114* والد در روزهای ۷، ۱۴ و ۲۱؛ M1, 2, 3+P به ترتیب گیاهان میخک آلوده شده با عامل قارچ فوزاریومی *F. oxysporum* N112 و مایه‌زنی شده با ترکیبی از جدایه‌های *NAS106-M21* و *NAS114-M12* جهش‌یافته در روزهای ۷، ۱۴ و ۲۱؛ P1, 2, 3 به ترتیب گیاهان آلوده شده با عامل قارچ فوزاریومی *F. oxysporum* N112 در روزهای ۷، ۱۴ و ۲۱.

کاهش شدید در محتوی سبزینه a، b و کل برگ‌های میخک پس از آلوده شدن با عامل قارچ فوزاریومی *F. oxysporum* N112 مشاهده شد. با این وجود، تلقیح گیاهان آلوده شده با ترکیبی از هر دو جدایه‌های *T. viride* NAS106 و *T. virens* NAS114 و والد و جهش‌یافته NAS106-M21 و NAS114-M12 نه تنها منجر به حفظ سبزینه a، b و کل شد، بلکه در برگ‌های مایه‌زنی شده با ترکیبی از جدایه‌های *T. viride* NAS106 و *T. virens* NAS114 والد بیشترین محتوی سبزینه a، b و کل در روز ۲۱ پژوهش مشاهده شد (شکل ۵). این امر می‌تواند در پایان منجر به بهبود عملکرد گیاهان میخک و افزایش بهره‌وری آنها گردد.

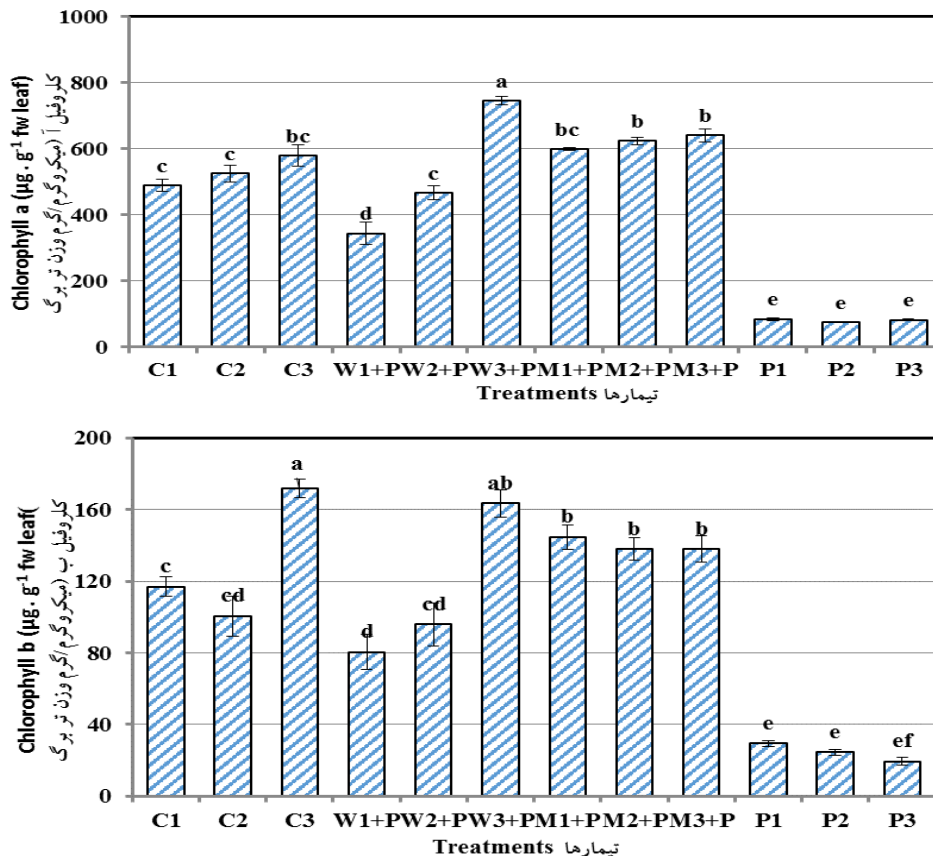


Figure 5. Content of chlorophyll a and chlorophyll b in carnation leaves infected with *F. oxysporum* and inoculated with *Trichoderma* species: C1,2,3: control plants on days 7, 14 and 21 respectively; W1,2,3 + P: Carnation plants infected with *F. oxysporum* N112 and inoculated with combination of wild type NAS106 and NAS114 isolates on days 7, 14 and 21 respectively; M1,2,3 + P: Carnation plants infected with *F. oxysporum* N112 and inoculated with a combination of NAS106-M21 and NAS114-M12 mutants isolates on days 7, 14 and 21 respectively; P1,2,3: plants infected with *F. oxysporum* N112 on days 7, 14 and 21 respectively.

شکل ۵. محتوی سبزینه آ و سبزینه ب در برگ‌های میخک آلوده شده با *F. oxysporum* N112 و مایه‌زنی شده با گونه‌های تریکودرما: C1,2,3: به ترتیب گیاهان کنترل در روزهای ۷، ۱۴ و ۲۱؛ W1,2,3+P: به ترتیب گیاهان میخک آلوده شده با عامل قارچ فوزاریومی *F. oxysporum* N112 و با ترکیبی از جدایه‌های NAS106 و NAS114 والد در روزهای ۷، ۱۴ و ۲۱؛ M1, 2, 3+P: به ترتیب گیاهان میخک آلوده شده با عامل قارچ فوزاریومی *F. oxysporum* N112 و مایه‌زنی شده با ترکیبی از جدایه‌های NAS106-M21 و NAS114-M12 والد و جهش‌یافته در روزهای ۷، ۱۴ و ۲۱؛ P1, 2, 3: به ترتیب گیاهان میخک آلوده شده با عامل قارچ فوزاریومی *F. oxysporum* N112 در روزهای ۷، ۱۴ و ۲۱.

کارتونوئید

محتوی کارتونوئید برگ‌ها تحت تأثیر تیمارهای مختلف با گذشت زمان قرار گرفت و بیشترین محتوی کارتونوئید برگ‌ها در گیاهان آلوده شده با عامل قارچ فوزاریومی *F. oxysporum* N112 و مایه‌زنی شده با ترکیبی از هر دو جدایه‌های *T. viride* NAS106 و *T. virens* NAS114 والد و جهش‌یافته در روز ۲۱ پژوهش مشاهده شد (شکل ۶). با این وجود، کمترین محتوی کارتونوئید برگ‌ها در گیاهان آلوده مشاهده شد که نشان می‌دهد بیماری پژمردگی فوزاریومی منجر به کاهش شدید در محتوی کارتونوئید برگ‌ها در میخک می‌گردد. با این وجود، گونه‌های تریکودرمای والد و جهش‌یافته اثرات محافظتی در برابر کاهش کارتونوئید برگ به واسطه عامل قارچ فوزاریومی *F. oxysporum* N112 دارند.

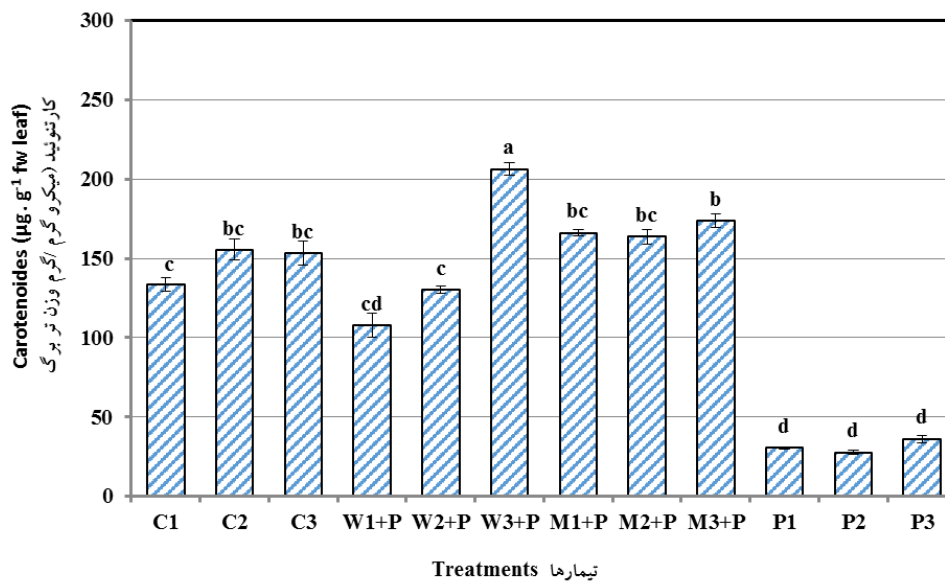


Figure 6. Carotenoids in carnation leaves infected with *F. oxysporum* N112 and inoculated with a combination of wild type isolates NAS106 and NAS114 and mutant NAS106-M21 and NAS114-M12: C1,2,3: control plants on days 7, 14 and 21 respectively; W1,2,3 + P: Carnation plants infected with *F. oxysporum* N112 and inoculated with a combination of wild type isolates NAS106 and NAS114 on days 7, 14 and 21 respectively; M1,2,3 + P: Carnation plants infected with *F. oxysporum* N112 and inoculated with a combination of NAS106-M21 and NAS114-M12 mutant isolates on days 7, 14 and 21 respectively; P1,2,3: plants infected with *F. oxysporum* N112 on days 7, 14 and 21 respectively.

شکل ۶. کارتونوئید برگ گیاهان میخک آلوده شده با عامل قارچ فوزاریومی *F. oxysporum* N112 و مایه‌زنی شده با ترکیبی از جدایه‌های NAS106 و NAS114 والد و جهش‌یافته NAS106-M21 و NAS114-M12: C1,2,3: گیاهان کنترل در روزهای ۷، ۱۴ و ۲۱؛ W1,2,3+P: به ترتیب گیاهان میخک آلوده شده با عامل قارچ فوزاریومی *F. oxysporum* N112 و مایه‌زنی شده با ترکیبی از جدایه‌های NAS106 و NAS114 والد در روزهای ۷، ۱۴ و ۲۱؛ M1,2,3+P: به ترتیب گیاهان میخک آلوده شده با عامل قارچ فوزاریومی *F. oxysporum* N112 و مایه‌زنی شده با ترکیبی از جدایه‌های NAS106-M21 و NAS114-M12 جهش‌یافته در روزهای ۷، ۱۴ و ۲۱؛ P1,2,3: به ترتیب گیاهان آلوده شده با عامل قارچ فوزاریومی *F. oxysporum* N112 در روزهای ۷، ۱۴ و ۲۱.

آنزیم‌های آنتی‌اکسیدانسی

آلوده شدن گیاهان میخک با عامل قارچ فوزاریومی *F. oxysporum* N112 منجر به بیشترین فعالیت آنزیم‌های پراکسیداز و پلی‌فنول اکسیداز شد و این امر نشان دهنده پاسخ دفاعی گیاه در برابر بیمارگر *F. oxysporum* N112 می‌باشد. با این وجود،



تلقیح گیاهان با ترکیبی از جدایه‌های *T. viride* NAS106 و *T. virens* NAS114 و جهش‌یافته NAS107-M1 و NAS110- M8 سطح فعالیت آنزیم‌های پراکسیداز و پلی فنول اکسیداز مشابه با گیاهان شاهد را نشان داد که به نظر می‌رسد استفاده از گونه‌های تریکودرما در تیمارها از راه کنترل قارچ فوزاریومی *F. oxysporum* N112 فعال روی گیاهان میخک و کاهش اینوکولوم فعال بیمارگر که اختلال در عملکرد این آنزیم‌ها در میخک ایجاد می‌کند موجب کاهش تنش در گیاه شده که با بروز فعالیت آنزیمی مشابه با گیاه سالم این بازگشت به تعادل در شاخص‌های فیزیولوژیکی گیاه مشاهده شده است (شکل ۷).

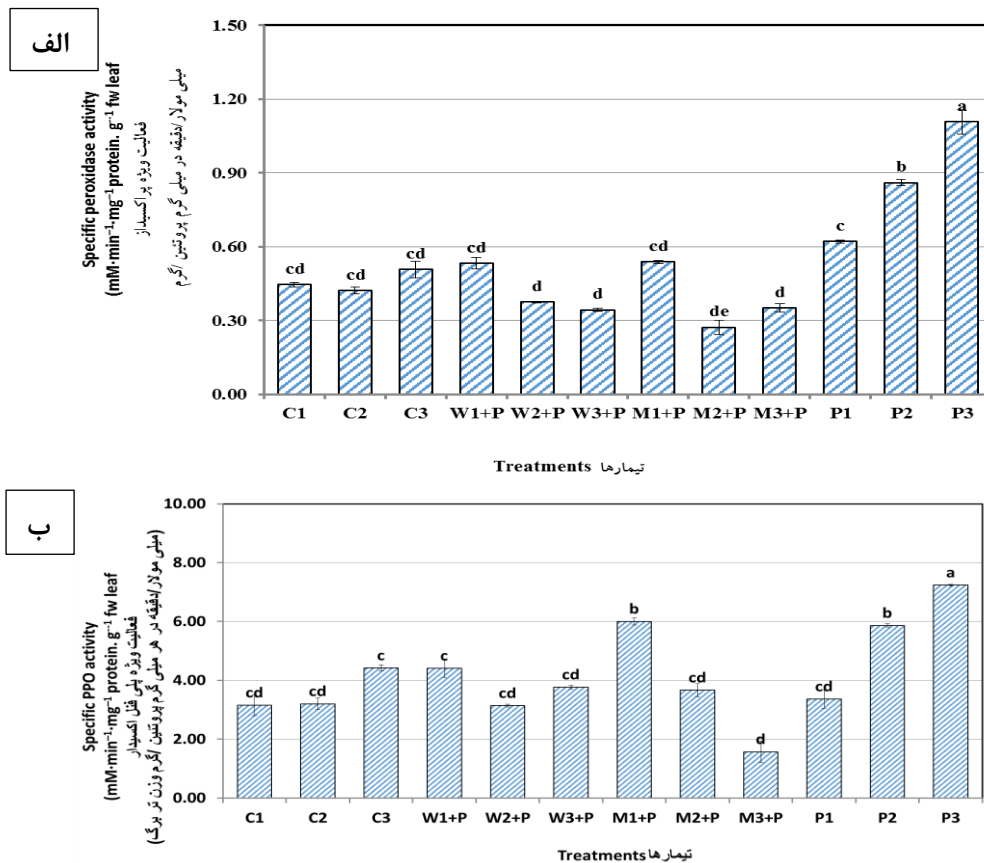


Figure 7. Peroxidase enzyme activity (A) and polyphenol oxidase enzyme activity (B) in the leaves of carnation plants infected with *F. oxysporum* N112 and inoculated with a combination of NAS106 and NAS114 wild type and NAS106-M21 and NAS114-M12 mutant isolates: C1,2,3: control plants on days 7, 14 and 21 respectively; W1,2,3 + P: carnation plants infected with *F. oxysporum* N112 and inoculated with a combination of NAS106 and NAS114 wild type isolates on days 7, 14 and 21 respectively; M1,2,3 + P: Carnation plants infected with *F. oxysporum* N112 and inoculated with a combination of NAS106-M21 and NAS114-M12 mutant isolates on days 7, 14 and 21 respectively; P1,2,3: Carnation plants infected with *F. oxysporum* N112 on days 7, 14 and 21 respectively.

شکل ۷. فعالیت آنزیم‌های پراکسیداز (الف) و پلی فنول اکسیداز (ب) در برگ گیاهان میخک آلوده شده با عامل قارچ فوزاریومی *F. oxysporum* N112 و مایه‌زنی شده با ترکیبی از جدایه‌های والد NAS106 و NAS114 و جدایه‌های جهش‌یافته NAS106-M21 و NAS114-M12: C1,2,3: به ترتیب گیاهان کنترل در روزهای ۷، ۱۴ و ۲۱؛ W1,2,3+P: به ترتیب گیاهان میخک آلوده شده با عامل قارچ فوزاریومی *F. oxysporum* N112 و مایه‌زنی شده با ترکیبی از جدایه‌های والد NAS106 و NAS114 در روزهای ۷، ۱۴ و ۲۱؛ M1,2,3+P: به ترتیب گیاهان میخک آلوده شده با عامل قارچ فوزاریومی *F. oxysporum* N112 و مایه‌زنی شده با ترکیبی از جدایه‌های والد NAS106-M21 و NAS114-M12 جهش‌یافته در روزهای ۷، ۱۴ و ۲۱؛ P1, 2, 3: به ترتیب گیاهان آلوده شده با عامل قارچ فوزاریومی *F. oxysporum* N112 در روزهای ۷، ۱۴ و ۲۱.

بحث

فوزاریوم از بیمارگرهای خاکبرد مهم است که دامنه گسترده‌ای از سویه‌های عامل پژمردگی بسیاری از گونه‌های گیاهی را دربر می‌گیرد (Dean et al., 2012). بیماری‌های ناشی از *F. oxysporum* باعث آسیب جدی در طول تولید محصولات مختلف می‌شوند (Gullino et al., 2015). کنترل بیمارگر و مدیریت بیماری تنها از راه رویکرد تلفیقی که در آن کنترل زیستی می‌تواند نقش محوری را ایفا کند، حاصل خواهد شد (Dean et al., 2012). از این رو، در پژوهش کنونی اثرات مهارکنندگی جدایه‌های *T. harzianum*, *T. viride*, *T. virens*, *T. koningii*, *T. atroviride* فوزاریومی میخک *F. oxysporum* f.sp. *dianthi* در شرایط درون و برون شیشه‌ای مورد پژوهش قرار گرفت. نتایج نشان داد که جدایه‌های *T. viride* NAS106 و *T. virens* NAS114 والد و جهش‌یافته NAS107-M1 و NAS110-M8 بالاترین توانایی جلوگیری از رشد جدایه پرآزار *F. oxysporum* N112 که بالاترین شدت نشانه‌ها را روی قلمه‌های میخک در گلخانه نشان داده بود، دارند. بررسی شاخص‌های فیزیولوژیکی همچون محتوی پروتئین کل، محتوی سبزینه a، سبزینه b و کاروتنوئید برگ گیاهان میخک آلوده شده با قارچ *F. oxysporum* N112 و تیمار شده با مخلوطی از جدایه‌های *T. viride* NAS106 و *T. virens* NAS114 والد و جهش‌یافته NAS106-M21 و NAS114-M12 حاکی از افزایش محتوی این شاخص‌ها در مقایسه با گیاهان دچار پژمردگی فوزاریومی (کنترل مثبت) با گذشت زمان بود. از سوی دیگر، کاهش در فعالیت آنزیم‌های آنتی‌اکسیدانی پراکسیداز و پلی‌فنول اکسیداز در گیاهان میخک تیمار شده با جدایه‌های *T. viride* NAS106 و *T. virens* NAS114 والد و جهش‌یافته و همچنین آلوده شده با قارچ *F. oxysporum* N112 مشاهده شد که ممکن است از اثرات کنترل‌کنندگی جدایه‌های *T. viride* NAS106 و *T. virens* NAS114 والد و جهش‌یافته NAS106-M21 و NAS114-M12 در برابر عامل پژمردگی فوزاریومی میخک باشد.

گونه‌های قارچ تریکودرما عوامل موثر کنترل زیستی در برابر بیماری‌های گیاهی ناشی از قارچ‌های خاکبرد هستند و در کنترل زیستی دامنه وسیعی از بیمارگرهای گیاهی به ویژه انواع فوزاریوم‌ها موفق عمل کرده‌اند (Rini & Sulochana, 2008). در پژوهش حاضر، جدایه‌های والد و جهش‌یافته از هر کدام گونه‌های *T. harzianum*, *T. viride*, *T. virens*, *T. koningii*, *T. atroviride* از نظر فعالیت ضد قارچی در برابر *F. oxysporum* f. sp. *dianthi* مورد آزمایش قرار گرفتند. درجات مختلف آنتاگونیسم توسط این جدایه‌ها در برابر بیمارگر در آزمون کشت دوگانه مشاهده شد. در بین این جدایه‌های مورد آزمایش، جدایه‌های *T. koningii* NAS107 به طور قابل توجهی بالاترین درصد مهار میسلیم را به میزان ۷۴٪ بر کنترل اعمال کرد و پس از آن *T. viride* NAS106 با ۵۳٪ قرار داشت. ارزیابی‌های کاربرد مخلوط گونه‌هایی از تریکودرما در برابر *F. oxysporum* f. sp. *ciceri* نشان داده بود که اثر تجمعی مثبت *T. viride* و *T. harzianum* و *T. hamatum* با درصد مهار قارچ بیمارگر وجود دارد (Nikam et al., 2007). همچنین اثر *T. harzianum* علیه *F. oxysporum* f. sp. *dianthi* نیز قبلاً گزارش شده است (Pratibha, 2000).

قارچ‌های آنتاگونیست از جمله تریکودرما مستقیم یا غیرمستقیم علیه *F. oxysporum* عمل کرده و در نتیجه نمو آن را کاهش می‌دهند. مکانیسم عمل آن شامل مایکوپارازیتسم، رقابت برای مواد مغذی یا پرده‌های اکولوژیکی و ایجاد واکنش‌های دفاعی گیاهان است. مایکوپارازیتسم به عنوان انگلی شدن قارچ توسط قارچ دیگر تعریف می‌شود. این امر با گسترش اندام‌های ویژه



همچون هاستوریا^۱ و ساخت آنزیم‌ها یا متابولیت‌های ثانویه انجام می‌شود تا در پایان اجازه جذب مواد مغذی از قارچ بیماری‌زا را بدهد (Daguerre et al., 2014). برخی از سویه‌های تریکودرما به دلیل توانایی مایکوپارازیتی آنها روی هیف *F. oxysporum* معروف هستند (John et al., 2010). بنابراین، کاهش رشد قارچ‌های عامل پژمردگی فوزاریومی توسط جدایه‌های *T. viride* NAS106 و *T. virens* NAS114 والد و جهش‌یافته NAS106-M21 و NAS114-M12 می‌تواند به مایکوپارازیتسم قارچ تریکودرما نسبت داده شود.

در پژوهش کنونی، پارامترهای مختلف زیست‌شیمیایی تنش اکسایشی همچون فعالیت آنزیم‌های پراکسیداز و پلی‌فنول اکسیداز طی برهمکنش‌های مختلف بیمارگر-تریکودرما-گیاه مورد پژوهش قرار گرفت و نتایج حاکی از افزایش فعالیت هر دو آنزیم در شرایط آلودگی میخک به قارچ عامل پژمردگی فوزاریومی بود. با این وجود، تیمار *T. viride* NAS106 و *T. virens* NAS114 والد و NAS106-M21 و NAS114-M12 جهش‌یافته بدون حضور بیمارگر منجر به کاهش فعالیت این آنزیم‌ها در هفته سوم نمونه برداری بود. افزایش فعالیت این آنزیم‌ها می‌تواند حاکی از شرایط تنش اکسایشی القا شده توسط قارچ *F. oxysporum* N112 باشد که گیاه برای مبارزه با آن، فعالیت آنزیم‌های آنتی‌اکسیدانسی را افزایش می‌دهد. بنابراین، می‌توان نتیجه گرفت که گیاه میخک در پاسخ به عفونت فوزاریومی تغییرات قابل توجهی را در وضعیت آنتی‌اکسیدانسی ایجاد می‌کند. گیاهان در پاسخ به تهاجم بیمارگر فوزاریوم تولید گونه‌های اکسیژن فعال (ROS) را افزایش می‌دهند (Rana et al., 2017). این پاسخ دفاع گیاه در برابر بیمارگر است که باعث تقویت دیواره یاخته‌ای از راه ایجاد اتصال عرضی لگنین با پروتئین‌ها می‌شود و برای بیمارگر سمی بوده و باعث واکنش‌های فوق حساسیت و مقاومت اکتسابی سیستماتیک در میزبان و مرگ بیمارگر می‌شود Santos-Rodríguez et al., 2021). افزایش فعالیت آنزیم‌های آنتی‌اکسیدانسی نوعی واکنش سازگار محسوب شده و تولید آنزیم‌هایی همچون پراکسیداز، پلی‌فنول اکسیداز و سوپراکسیددیسموتاز افزایش پیدا می‌کند و این آنزیم‌ها در سم‌زدایی رادیکال‌های آزاد تولید شده توسط برهمکنش گیاه-پاتوژن نقش مهمی را ایفا می‌کنند (Sundaramoorthy & Balabaskar, 2013). با این وجود، زمانی که در پژوهش کنونی گیاهان میخک مایه‌زنی شده با *F. oxysporum* N112 با قارچ‌های *T. viride* NAS106 و *T. virens* NAS114 والد و جهش‌یافته مایه‌زنی شدند، کاهش در فعالیت این آنزیم‌ها با گذشت زمان مشاهده شد که ممکن است ناشی از مهار رشد قارچ *F. oxysporum* N112 توسط جدایه‌های جهش‌یافته *T. viride* NAS106 و *T. virens* NAS114 والد و NAS106-M21 و NAS114-M12 موتانت باشد که منجر به کاهش تنش اکسایشی و در نتیجه کاهش فعالیت این آنزیم‌های آنتی‌اکسیدانسی شده است. نتایج پژوهش کنونی حاکی از افزایش محتوی پروتئین کل برگ‌های گیاه میخک سه هفته پس از مایه‌زنی با بیمارگر و جدایه‌های *T. viride* NAS106 و *T. virens* NAS114 والد و جهش‌یافته NAS106-M21 و NAS114-M12 بود. القاء پاسخ‌های گیاهی در برابر حمله بیمارگر با تنظیم ترانس‌سای مسیره‌های پیچیده تنظیم می‌شود و اینگونه پاسخ‌ها در افزایش سطح پروتئین کل با فعال شدن مکانیسم‌های دفاعی ارتباط دارد (Lavania et al., 2006). به نظر می‌رسد که جدایه‌های *T. viride* NAS106 و *T. virens* NAS114 والد و جهش‌یافته NAS106-M21 و NAS114-M12 با اثرات آنتاگونیستی در برابر *F. oxysporum* N112 منجر به فعال شدن مسیره‌های مختلف آنابولیستی و کاتابولیستی شده و این منجر به کاهش سطح نشاسته در اثر هیدرولیز و

افزایش میزان ساکاروز گردد و احتمالاً یک سری آنزیم‌های ضروری متابولیسمی را در پروتوپلاسم در داخل اندامک‌ها مترکم کند. در پژوهش کنونی نتایج حاکی از کاهش در سطوح سبزینه a، b، کل و کارتنوئید برگ‌ها پس از مایه‌زنی گیاه با *F. oxysporum* N112 بود. نتایج مشابهی در ارتباط با تنش زیستی در پژوهش‌ها دیگر گزارش شده است (Garavaglia *et al.*, 2010). کاهش در محتوی سبزینه می‌تواند به فرایند سم‌زدایی ترکیبات حاصل از بیمارگر نسبت داده شود. با این وجود، مایه‌زنی گیاهان آلوده شده به *F. oxysporum* N112 با جدایه‌های جهش‌یافته *T. viride* NAS106 و *T. virens* NAS114 و والد و جهش‌یافته NAS106-M21 و NAS114-M21 منجر به افزایش سطوح سبزینه و کاروتنوئید در برگ‌ها شد. این امر می‌تواند منجر به افزایش فتوسنتز در این گیاه منجر گردد.

نتیجه‌گیری

جدایه‌های جهش‌یافته *T. viride* NAS106 و *T. virens* NAS114 و والد و NAS106-M21 و NAS114-M21 جهش‌یافته بالاترین توانایی بالایی در جلوگیری از رشد کلی جدایه پرآزار *F. oxysporum* N112 که بالاترین شدت نشانه‌ها را روی قلمه‌های میخک در گلخانه نشان داده بود، دارند. به نظر می‌رسد که این عوامل کنترل زیستی توانایی ایجاد تغییرات در شاخص‌های فیزیولوژیک گیاه برای چیرگی بر قارچ عامل پژمردگی فوزاریومی در گیاه میخک را دارند. تغییرات در محتوی و نوع پروتئین‌ها، افزایش سطوح سبزینه، کاروتنوئید و کاهش در سطوح آنزیم‌های آنتی‌اکسیدانسی همچون پراکسیداز و پلی‌فنول اکسیداز در میخک از مکانیسم‌های عمل این قارچ در کاهش تنش انگیخته شده توسط قارچ عامل پژمردگی فوزاریومی در میخک است. از این رو، کاربرد جدایه‌های جهش‌یافته *T. viride* NAS106 و *T. virens* NAS114 و والد و NAS106-M21 و NAS114-M21 جهش‌یافته در برنامه‌های مبارزه با قارچ عامل پژمردگی فوزاریومی در میخک توصیه می‌شود.

سپاسگزاری

این مقاله حاصل از اجرای پروژه پژوهشی مصوب پژوهشگاه علوم و فنون هسته‌ای با کد PRI-A3-98-002 تحت عنوان "کنترل خسارت بیماری‌های پژمردگی فوزاریومی میخک با استفاده از قارچ کش زیستی در گلخانه" بوده است و نویسندگان از همکاری و حمایت پژوهشگاه علوم و فنون هسته‌ای - پژوهشکده کشاورزی هسته‌ای و اعضای گروه بیوتکنولوژی کشاورزی دانشگاه پیام نور در اجرای این پروژه سپاسگزاری می‌نمایند.

منابع

- Bradford, M.M., (1976). A rapid and sensitive method for the quantitation of microgram quantities of protein utilizing the principle of protein-dye binding. *Analytical Biochemistry*, 72, 248-254.
- Daguerre, Y., Siegel, K., Edel-Hermann, V., Steinberg, C., (2014). Fungal proteins and genes associated with biocontrol mechanisms of soil-borne pathogens: a review. *Fungal Biology Reviews*, 28, 97-125.
- De Gara, L., de Pinto, M.C., Tommasi, F., (2003). The antioxidant systems vis-à-vis reactive oxygen species during plant-pathogen interaction. *Plant Physiology and Biochemistry* 41, 863-870.
- Dean, R., Van Kan, J.A., Pretorius, Z.A., Hammond-Kosack, K.E., Di Pietro, A., Spanu, P.D., Rudd, J.J., Dickman, M., Kahmann, R., Ellis, J., (2012). The Top 10 fungal pathogens in molecular plant pathology. *Molecular Plant Pathology*, 13, 414-430.
- Dogan, S., Dogan, M., (2004). Determination of kinetic properties of polyphenol oxidase from *Thymus* (*Thymus longicaulis* subsp. *chaubardii* var. *chaubardii*). *Food Chemistry*, 88, 69-77.
- Garavaglia, B.S., Thomas, L., Gottig, N., Dunger, G., Garofalo, C.G., Daurelio, L.D., Ndimba, B., Orellano, E.G., Gehring, C., Ottado, J., (2010). A eukaryotic-acquired gene by a biotrophic phytopathogen allows



- prolonged survival on the host by counteracting the shut-down of plant photosynthesis. *PLoS One*, 5, 8950.
- Gullino, M.L., Daughtrey, M.L., Garibaldi, A., Elmer, W.H., (2015). *Fusarium* wilts of ornamental crops and their management. *Crop Protection*, 73, 50-59.
- Gupta, V., Misra, A., (2009). Efficacy of bioagents against *Fusarium* wilt of guava. *Journal of Mycology and Plant Pathology*, 39, 101.
- Howell, C.R., (2006). Understanding the mechanisms employed by *Trichoderma virens* to effect biological control of cotton diseases. *Phytopathology*, 96, 178-180.
- John, R.P., Tyagi, R.D., Prévost, D., Brar, S.K., Pouleur, S., Surampalli, R.Y., (2010). Mycoparasitic *Trichoderma viride* as a biocontrol agent against *Fusarium oxysporum* f. sp. adzuki and *Pythium arrhenomanes* and as a growth promoter of soybean. *Crop Protection*, 29, 1452-1459.
- Karimi, A., Rouhani H., Zafari, D., Khodakaramian G. and Taghinasab M., (2007). Biological control of carnation vascular wilt disease with *Fusarium oxysporum* f. sp. *dianthii* by strains of *Bacillus* and *Pseudomonas* isolated from rhizosphere, *Journal of Agricultural Science and Technology and Natural Resources*, 11(41b), 309-319.
- Khan, R.A., Najeeb, S., Hussain, S., Xie, B., Li, Y., (2020). Bioactive Secondary Metabolites from *Trichoderma* spp. against Phytopathogenic Fungi. *Microorganisms*, 8(6), 817.
- Lavania, M., Chauhan, P.S., Chauhan, S.V.S., Singh, H.B., Nautiyal, C.S., (2006). Induction of Plant Defense Enzymes and Phenolics by Treatment With Plant Growth-Promoting Rhizobacteria *Serratia marcescens* NBRI1213. *Current Microbiology*, 52, 363-368.
- Leslie, J.F., Summerell, B.A., (2008). The *Fusarium* laboratory manual. In: John Wiley & Sons(ed.) Media recipis and preparatin. First Edition. Wiley, New York, pp 5-11.
- Lori, G., Edel-Hermann, V., Gautheron, N. and Alabouvette, C., (2004). Genetic diversity of pathogenic and nonpathogenic populations of *Fusarium oxysporum* isolated from carnation fields in Argentina. *Phytopathology*, 94(6), 661-668.
- Lu, S., Su, W., Li, H., Guo, Z., (2009). Abscisic acid improves drought tolerance of triploid bermudagrass and involves H₂O₂- and NO-induced antioxidant enzyme activities. *Plant Physiology and Biochemistry*, 47, 132-138.
- Mika, A., Luthje, S., (2003). Properties of guaiacol peroxidase activities isolated from corn root plasma membranes. *Plant Physiology*, 132, 1489-1498.
- Nicolopoulou-Stamati, P., Maipas, S., Kotampasi, C., Stamatis, P., Hens, L., (2016). Chemical pesticides and human health: the urgent need for a new concept in agriculture. *Frontiers in Public Health*, 4, 148.
- Nikam, P., Jagtap, G., Sontakke, P., (2007). Management of chickpea wilt caused by *Fusarium oxysporum* f. sp. *ciceri*. *African Journal of Agricultural Research*, 2, 692-697.
- Pratibha, S., (2000). An integrated approach for the management of carnation wilt caused by *Fusarium oxysporum* f. sp. *dianthii* (Pril. and Del.) Snyd. and Hans. *New Botanist*, 27, 143-150.
- Rana, A., Sahgal, M., Johri, B.N., (2017). *Fusarium oxysporum*: Genomics, Diversity and Plant-Host Interaction, in: Satyanarayana, T., Deshmukh, S.K., Johri, B.N. (Eds.), *Developments in Fungal Biology and Applied Mycology*. Springer Singapore, Singapore, pp. 159-199.
- Rini, C., Sulochana, K., (2008). Usefulness of *Trichoderma* and *Pseudomonas* against *Rhizoctonia solani* and *Fusarium oxysporum* infecting tomato. *Journal of Tropical Agriculture*, 45, 21-28.
- Ros, M., Pascual, J., (2011). Mycoparasitism-related genes expression of *Trichoderma harzianum* isolates to evaluate their efficacy as biological control agent. *Biological Control*, 56(1), 59-66.
- Santos-Rodríguez, J., Coy-Barrera, E., Ardila, H.D., (2021). Mycelium dispersion from *Fusarium oxysporum* f. sp. *dianthii* elicits a reduction of wilt severity and influences phenolic profiles of carnation (*Dianthus caryophyllus* L.) roots. *Plants*, 10, 1447.
- Soufi, E., Safaie, N., Shahbazi, S., Mojerlou, S., (2021). Gamma irradiation induces genetic variation and boosting antagonism in *Trichoderma aureoviride*. *Archives of Phytopathology and Plant Protection*, 54(19-20), 1649-1674.



- Sundaramoorthy, S., Balabaskar, P., (2013). Biocontrol efficacy of *Trichoderma* spp. against wilt of tomato caused by *Fusarium oxysporum* f. sp. *lycopersici*. *Journal of Applied Biology & Biotechnology*, 1, 36-40.
- Shahbazi, S., Zaker Tavallaie, F., Daroodi, Z., (2021). Morphological and molecular identification of *Fusarium* spp. associated with carnation *Dianthus caryophyllus* in Mahallat, Iran. *Journal of Crop Protection*, 10(3), 461-471.
- Younesi, P., Raushit, A. M., Etebarian H. R., (2013). The mutual effect of plant nutrition and *Fusarium* wilt disease of cucumber caused by *Fusarium oxysporum* f. sp. *cucumerinum*, *New Research in Plant Pathology*, 6(3), 297-308 (In persian).
- Zaker Tavallaie, F., Shahbazi, S., Daroodi, Z. (2022). Effective biological control of carnation *Fusarium* wilt using a new combination of *Trichoderma* mutant isolates. *Journal of Agricultural Science and Technology*, 24(6), 1501-12517.



Comparison of the physiological effects of wild and mutated biological agents of *Trichoderma* spp. against *Fusarium oxysporum* f.sp. *dianthi* in carnation ‘White Liberty’

Shima Heidarpour¹, Samira Shahbazi*², Razieh Sarabadani¹, Hamed Askari²

1. Department of Biotechnology, Payam-e-Noor University, Tehran, Iran

2. Nuclear Agricultural Research School, Nuclear Science and Technology Research Institute (NSTRI), Atomic Energy Organization of Iran (AEOI), Karaj, Iran.

✉ samira.shahbazi.aeoi@gmail.com

Received: 2021/09/28, Revised: 2023/01/04, Accepted: 2023/01/07

Abstract

Carnation is an important ornamental plant and *Fusarium oxysporum* f.sp. *dianthi* is the causal agent of Fusarium wilt of carnation, causes a lot of damage to carnation growers. The aim of the present study was to investigate the response of carnation plants infected with *F. oxysporum* f.sp. *dianthi* and inoculated with *Trichoderma* (wild and mutant) on some physiological and enzymatic parameters related to resistance against pathogen. After isolating and identification of the pathogens and studying their pathogenicity, *F. oxysporum* N112 was selected as the virulent strain. *Trichoderma* isolates were prepared from the fungal collection of the Nuclear Agriculture Research Institute and their *in vitro* ability to inhibit growth against *F. oxysporum* N112 was studied. The reduction of disease incidence due to treatment with selected *Trichoderma* on carnation ‘White Liberty’ in the greenhouse condition was investigated. The content of total protein, chlorophyll a and b, carotenoids as well as the activity of peroxidase and polyphenol oxidase enzymes in leaf samples were studied on days 7, 14 and 21. The results showed a decrease in the production of total protein, chlorophyll (a, b) and carotenoids in infected plants and an increase in the activity of peroxidase and polyphenol oxidase enzymes led to accumulation of free radicals in leaf tissue. While the plants inoculated with *Trichoderma* led to increase the content of total protein, chlorophyll (a, b) and carotenoids and prevented the accumulation of free radicals, it may related to reducing the accumulation of peroxidase and polyphenol oxidase enzymes in the carnation plant infected with *Fusarium fusarium* f.sp. *dianthi*. On the other hand, treatment with mutant *Trichoderma* (NAS106-M21 and NAS114-M12) had more influence on the progression of the disease than wild isolates 21 days after disease infection, which was due to the effect of treatment with mutant *Trichoderma* in reducing cellular oxidation in the infected plant. The results showed that NAS106-M21 and NAS114-M12, in addition to higher antagonistic activity than the wild isolates (*T. viride* NAS106 and *T. virens* (NAS114)), through a greater effect on the cellular oxidation balance could be a more effective biocontrol agent in the integrated program to combat carnation Fusarium wilt.

Keywords: *Dianthus caryophyllus*, *Fusarium oxysporum*, *Trichoderma*, Biocontrol, Gamma irradiation.